

Nombre del Producto: Anticuerpo policlonal de conejo anti-E-cadherina**Nº de Catálogo: APRab10278**

Solo para uso en investigación.

Resumen

Descripción	Anticuerpo policlonal de conejo
Huésped	Conejo
Aplicación	WB,IHC,ICC/IF,ELISA
Reactividad	Humano, Ratón, Rata
Conjugación	No conjugado
Modificación	Sin modificar
Isotipo	IgG
Clonalidad	Policlonal
Formato	Líquido
Concentración	1 mg/ml
Almacenamiento	Hacer alícuotas y almacenar a -20°C (válido por 12 meses). Evitar ciclos de congelación/descongelación.
Envío	Bolsas de hielo
Tampon	Líquido en PBS que contiene 50% de glicerol, 0,5% de proteína protectora y 0,02% de conservante de nuevo tipo N.
Purificación	Purificación por afinidad

Aplicación

Relación de Dilución	WB 1:500-1:2000,IHC 1:100-1:300,ICC/IF 1:100-1:300,ELISA 1:10000-1:20000
Peso Molecular	125-130kDa

Información del Antígeno

Nombre del Gen	CDH1 CDH1; CDHE; UVO; Cadherin-1; CAM 120/80; Epithelial cadherin; E-cadherin; Uvomorulin;
Nombres Alternativos	CD antigen CD324; CDH2; CDHN; NCAD; Cadherin-2; CDw325; Neural cadherin; N-cadherin; CD antigen CD325; CDH3; CDHP; Cadherin-3; Placental cadherin; P-cadhe
ID del Gen	999/1000/1001/1002
ID SwissProt	P12830/P19022/P22223/P55283
Inmunógeno	El antisuero se elaboró contra el péptido sintetizado derivado de la cadherina humana. Rango de AA: 833-882.

Antecedentes

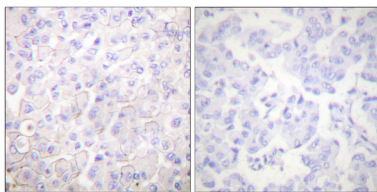
Este gen codifica una cadherina clásica de la superfamilia de las cadherinas. El empalme alternativo da lugar a múltiples variantes de transcripción, al menos una de las cuales codifica una preproteína que se procesa proteolíticamente para generar la glicoproteína madura. Esta proteína de adhesión intercelular dependiente del calcio se compone de cinco repeticiones de cadherina extracelular, una región transmembrana y una cola citoplasmática altamente conservada. Las mutaciones en este gen se correlacionan con el cáncer gástrico, de mama, colorrectal, de tiroides y de ovario. Se cree que la pérdida de la función de este gen contribuye a la progresión del cáncer al aumentar la proliferación, la invasión y/o la metástasis. El ectodominio de esta proteína media la adhesión bacteriana a las células de mamíferos y el dominio citoplasmático es necesario para la internalización. Este gen está presente en un grupo de genes con otros miembros de la familia de las cadherinas en el cromosoma 16. [Proporcionado por RefSeq, noviembre de 2015], enfermedad: Los defectos en CDH1 son causa de cáncer gástrico [MIM:137215]; también conocido como cáncer gástrico difuso familiar hereditario (HDGC), enfermedad: Los defectos en CDH1 son causa de susceptibilidad al cáncer de endometrio [MIM:608089], enfermedad: Los defectos en CDH1 se asocian con el cáncer de ovario [MIM:167000]. El cáncer de ovario es la principal causa de muerte por neoplasia maligna ginecológica. Se caracteriza por una presentación avanzada con diseminación locorregional en la cavidad peritoneal y la rara incidencia de metástasis viscerales. Estas características típicas se relacionan con la biología de la enfermedad, que es un determinante principal del pronóstico, enfermedad: Los defectos en CDH1 están involucrados en la disfunción del sistema de adhesión intercelular, desencadenando la invasión del cáncer (gástrico, mama, ovario, endometrio y tiroides) y la metástasis, función: Las cadherinas son proteínas de adhesión celular dependientes del calcio, función: Las cadherinas son proteínas de adhesión celular dependientes del calcio. Interactúan preferentemente entre sí de forma homofílica en las células contiguas; por lo tanto, las cadherinas pueden contribuir a la clasificación de tipos celulares heterogéneos. CDH1 participa en mecanismos que regulan las adhesiones intercelulares, la movilidad y la proliferación de células epiteliales. Tiene un potente papel supresor invasivo. Es un ligando para la integrina alfa-E/beta-7, función: E-Cad/CTF2 promueve la degradación no amiloidogénica de los precursores de Abeta. Tiene un fuerte efecto inhibitorio sobre la producción de APP C99 y C83. Información en línea: Entrada de E-cadherina, PTM: Durante la apoptosis o con la entrada de calcio, se escinde por una metaloproteínasa unida a la membrana (ADAM10), PS1/gamma-secretasa y caspasa-3 para producir fragmentos de aproximadamente 38 kDa (E-CAD/CTF1), 33 kDa (E-CAD/CTF2) y 29 kDa (E-CAD/CTF3), respectivamente. El procesamiento por la metaloproteínasa, inducido por la entrada de calcio, causa la interrupción de la adhesión intercelular y la posterior liberación de beta-catenina al citoplasma. El producto residual de la escisión, unido a la membrana, se degrada rápidamente mediante una vía proteolítica intracelular. La escisión por la caspasa-3 libera la cola citoplasmática, lo que resulta en la desintegración del sistema de microfilamentos de actina. La escisión mediada por gamma-secretasa promueve la desintegración de las uniones adherentes. Similitud: Contiene 5 dominios de cadherina. Ubicación subcelular: Se colocaliza con DLGAP5 en los puntos de contacto intercelular de las células epiteliales intestinales. Se ancla a los microfilamentos de actina mediante la asociación con alfa-, beta- y gamma-catenina. La proteólisis secuencial, inducida por apoptosis o influjo de calcio, resulta en la translocación desde los puntos de contacto intercelular hasta el citoplasma. Subunidad: Homodímero; unido por enlaces disulfuro. Interactúa directamente, a través del dominio citoplasmático, con CTNNA1 o JUP para formar el complejo de adhesión PSEN1/cadherina/catenina, que se conecta al esqueleto de actina mediante la unión de la alfa-catenina a la actina. La interacción con PSEN1 escinde CDH1, lo que resulta en

la disociación de las uniones adherentes basadas en cadherina (CAJ). Interactúa con AJAP1, CTNND1 y DLGAP5., especificidad tisular: tejidos epiteliales no neuronales.

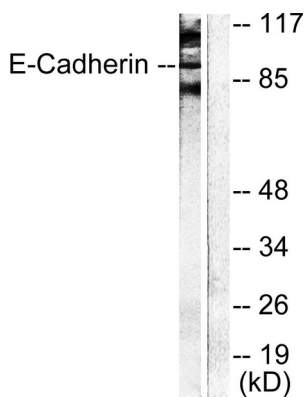
Área de Investigación

Moléculas de adhesión celular (CAM); Unión adherente; Infección por Escherichia coli patógena; Vías en el cáncer; Cáncer de endometrio; Cáncer de tiroides; Melanoma; Cáncer de vejiga;

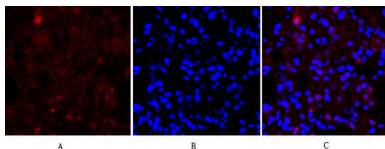
Datos de Imagen



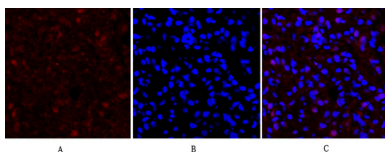
Análisis inmunohistoquímico de tejido de carcinoma mamario humano incluido en parafina, utilizando el anticuerpo Cadherina-pan. La imagen de la derecha está bloqueada con el péptido sintetizado.



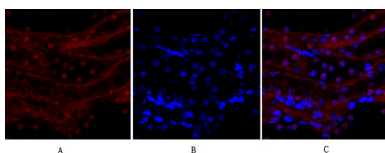
Análisis de inmunotransferencia de lisados de células NIH/3T3, utilizando el anticuerpo Cadherina-pan. El carril derecho está bloqueado con el péptido sintetizado.



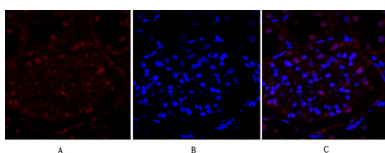
Análisis de inmunofluorescencia de tejido pulmonar de rata. 1. El anticuerpo policlonal de E-cadherina (rojo) se diluyó a 1:200 (4 °C, durante la noche). 2. El anticuerpo secundario marcado con Cy3 se diluyó a 1:300 (temperatura ambiente, 50 min). 3. Imagen B: DAPI (azul) 10 min. Imagen A: Objetivo. Imagen B: DAPI. Imagen C: Fusión de A+B.



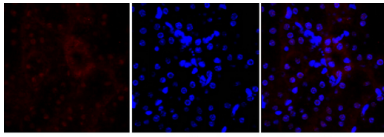
Análisis de inmunofluorescencia de tejido pulmonar de rata. 1. El anticuerpo policlonal de E-cadherina (rojo) se diluyó a 1:200 (4 °C, durante la noche). 2. El anticuerpo secundario marcado con Cy3 se diluyó a 1:300 (temperatura ambiente, 50 min). 3. Imagen B: DAPI (azul) 10 min. Imagen A: Objetivo. Imagen B: DAPI. Imagen C: Fusión de A+B.



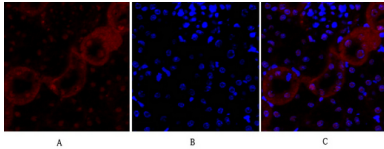
Análisis de inmunofluorescencia de tejido renal de rata. 1. El anticuerpo policlonal de E-cadherina (rojo) se diluyó a 1:200 (4 °C, durante la noche). 2. El anticuerpo secundario marcado con Cy3 se diluyó a 1:300 (temperatura ambiente, 50 min). 3. Imagen B: DAPI (azul) 10 min. Imagen A: Objetivo. Imagen B: DAPI. Imagen C: Combinación de A+B.



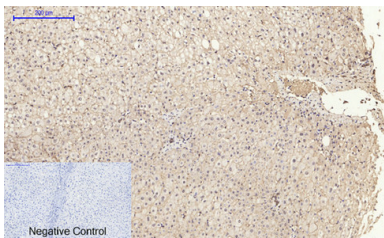
Análisis de inmunofluorescencia de tejido renal de rata. 1. El anticuerpo policlonal de E-cadherina (rojo) se diluyó a 1:200 (4 °C, durante la noche). 2. El anticuerpo secundario marcado con Cy3 se diluyó a 1:300 (temperatura ambiente, 50 min). 3. Imagen B: DAPI (azul) 10 min. Imagen A: Objetivo. Imagen B: DAPI. Imagen C: Combinación de A+B.



Análisis de inmunofluorescencia de tejido renal de ratón. 1. El anticuerpo policlonal E-cadherina (rojo) se diluyó a 1:200 (4 °C, durante la noche). 2. El anticuerpo secundario marcado con Cy3 se diluyó a 1:300 (temperatura ambiente, 50 min). 3. Imagen B: DAPI (azul) 10 min. Imagen A: Objetivo. Imagen B: DAPI. Imagen C: Fusión de A+B.



Análisis de inmunofluorescencia de tejido renal de ratón. 1. El anticuerpo policlonal E-cadherina (rojo) se diluyó a 1:200 (4 °C, durante la noche). 2. El anticuerpo secundario marcado con Cy3 se diluyó a 1:300 (temperatura ambiente, 50 min). 3. Imagen B: DAPI (azul) 10 min. Imagen A: Objetivo. Imagen B: DAPI. Imagen C: Fusión de A+B.



Análisis inmunohistoquímico de tejido hepático humano incluido en parafina. 1. El anticuerpo policlonal E-cadherina se diluyó a 1:200 (4 °C, durante la noche). 2. Se utilizó citrato de sodio a pH 6,0 para la recuperación de anticuerpos (>98 °C, 20 min). 3. El anticuerpo secundario se diluyó a 1:200 (temperatura ambiente, 30 min). El control negativo se utilizó solo con el anticuerpo secundario.